

等方性乱流の減衰

岩手大工 紐川 巖
航技研 山本 稀 義

1. 序

才 19 回日本流体力学講演会(昨年 11 月)で、「スペクトル法による 3 次元等方性乱流の数値シミュレーション」のテーマで発表したが、このコンメント(2)。

この 24 年の乱流の研究は 1972 年、Orszag & Patterson¹⁾ に始まる。周期性境界条件を付した立方体の中での Navier-Stokes 方程式の解の挙動をフーリエ解析による追跡するが、初期条件は $k^4 - 2k^2$ の型のエネルギー・スペクトルを定めた流場のガウス型統計集団の一つのサンプルを取った。非線形項から発生した aliasing error を防ぐには、この方法の重要な鍵となる。当時¹⁾は 32^3 の grid points が箱一杯の所であった。これはこの 7-スペクトル法では発見できなかったが、現在では 128^3 の grid points をこの 2 次元の角に定めた。これはこの 7-スペクトル法もつかうべきである。この種の大計算は既に Kern²⁾, Bracher et al³⁾, Kida et al⁴⁾ により行われたことが、上

1) 中へおよぶ一般論的考察の予備性乱流を扱った
 こと。

おのづから計算では、 $k_\alpha = (2\pi/L)m_\alpha$ ($\alpha=1, 2, 3$; m_α は
 整数) を示す。波数空間を使い、 $L=4\pi$ とした。又
 長さの単位を初期エネルギースペクトルの最大値を有する波数
 の逆数とし、初期の自乗平均速度を U とし速度の単位とす
 ると、自動的に初期スペクトル型は $E(k, 0) = (16/3)$
 $(2/\pi)^{1/2} k^4 e^{-2k^2}$ となり、レイルス数は $R=1/\nu$ (ν :
 動粘性係数) とする。Orszag & Patterson の計算と、
 相異ない、基底方程式を solenoidal 表示⁵⁾ (非圧縮
 性条件を厳密に満足させ) $u(x, y, z, t) = \dots$ 、時間積分
 を Runge-Kutta-Gill 法で遂行することにした。このとき
 128 の計算精度は $\epsilon = 10^{-5}$ の精度である。

結果として、 $R=400, 500$ で $t=10$ 以後において small
 eddies が腐力起す。コレゴロフ-スペクトルの出現を見つ
 けた。コレゴロフ定数は 2.1 となり、2), 3), 4) の結果と
 comparable である。図 1, 2 参照。このとき、 R_λ (テイ
 ーのレイルス数) は ~ 100 の程度である。図 3 参照。
 Skewness は $t=20$ 以降) に対して $R=50 \sim 500$ に対して、 0.4
 ~ 0.5 の値を維持する。図 4 参照。

2. エネルギー-減衰について

$R=50 \sim 500$ (400の場合も500の場合も17%重なり。) に対するエネルギー-減衰の指標を図5に示す。明かに $t > 10^2$ 中法則のみみられるが、中指数は EDQNM⁽⁴⁾ だと知られている $-1 \sim -1.38$ ではない。 $R=500$ の場合 -2.5 になる。 Kida et al⁽⁴⁾ に比べて t がより低い値で得られる。これは行政だ。

Batchelor & Townsend⁽⁷⁾ の乱流末期の減衰則に合っているから、そうではないかと考えられるが、この period には $R=400, 500$ に対して $R_\lambda \sim 40$ ぐらい、と非線形項が無視できる状況ではない。(図3参照。) したがって、おもしろい行政を用いた乱流では、乱流末期に中法則は現れず、指数減衰的減衰になる。これを次の節で述べる。

ここで注目すべきことは、用いた乱流の場合には、EDQNM による self-similarity analysis⁽⁴⁾ はうまくいかなかった。行政から、おもしろい波数空間は高散的であり、原点近傍にものは存在せず従って $k=0$ の周りを一周する必要があるからである。おもしろい行政の最小波数は $k_1 = \sqrt{2}$ であり、これは大規模 eddy である。EDQNM による non-local な非線形相互作用のためには逆エネルギー-輸送が起るから面白い。大規模

eddy のエネルギーが「増加する」ことが実証された。だが、周期性乱流では大抵 eddy の存在が禁止されるので、逆エネルギー輸送は即ちゼロになる。この結果、1-2 eddy の存在にその分のエネルギーが留まるが、 k^2 の CC341 の dissipation の作用を受け、エネルギー減衰は EDQNM の示すより早いことが予想される。これが -2.5 という値の中核数を生ずるからだと考えられる。

図5から15、 $R=500, 200, 100$ の曲線が $t=20$ まで cross するようになっているが、相互に漸近しているようにも見える。今の所、2011 年 2 月の確答はできず。

一方、周期的な等方位性乱流については何かしら Direct Simulation ができるかもしれない。著者ら⁸⁾の最近の結果から得た図6、図7は参考になる資料である。これは、初期エネルギースペクトルを単507という方を全(同じ条件で扱った等方位性乱流)、周期性条件は $\beta > 2$ の場合。だが $\beta = 7$ 以上の自由層のサンプリングを行なった。図7で、周期性のせいで対照的に -1.3 のエネルギー減衰中核数が現れる。(これは EDQNM の -1.38 に近い。) 一方、図6では k の値が $k = [0, 1/2]$ でのスペクトルは実線より上に散在し、EDQNM の逆エ

エネルギー輸送を導出する)に等しい。 (これはその分配は k^4 になるから、 k^2 に近い。 2417 Lesieur & Schertzen⁶⁾ の平衡分布のポテンシャル

$$E(k) = \frac{A}{2\nu t^{3/2}} k^2 \quad \text{as } k^2 \rightarrow 0 \quad (2.1)$$

に近くなるはずである。 2417 のように研究発表場にはよく異論があるが、(2.1) は導出されたものでなく (2, ref. 6) の近似から導かれた単純な予想であるということに付記しておく。

3. 乱流末期の減衰法則

線形方程式が適用できるならば、速度場 v の 7-42 成分 $v(k)$ に対し、

$$\frac{1}{2} \frac{\partial |v(k)|^2}{\partial t} = -\nu k^2 |v(k)|^2 \quad (3.1)$$

Batchelor⁹⁾ の手法により、 $[t, k_1]$ が考慮の外にはおこなわれ、エネルギーは

$$E(t) = A \int_{k_1}^{\infty} k^s e^{-2k^2 t} dk = \frac{A}{2(2\nu t)^{(s+1)/2}} \int_{2\nu k_1^2}^{\infty} x^{(s-1)/2} e^{-x} dx \quad (3.2)$$

となる。 s は big eddy の依存を示す中指数。 $k_1=0, s=4$ とすれば、 $E(t) \sim t^{-5/2}$ (Batchelor & Townsend⁷⁾) が得られた。 右辺の積分が Γ 関数の漸近展開により、

$2\nu k_1^2 t \gg 1$ の時.

$$E(t) \approx \frac{A}{4\nu t} k_1^{s-1} e^{-2\nu k_1^2 t} \quad (3.3)$$

となり、指数函数的に早く減衰し、減衰のスピードは s に比例する。

4. 発達した乱流の fine structure

渦度場に着目し、 $R=500$ において $t=0$ から $t=10$ の間の渦度場の変化が起るかを検討する。図8は初期の vorticity magnitude $|\omega|$ (normalized by its maximum) の 0.5 以上の部分の領域が透視図にある。図9は $t=10$ における $|\omega| \geq 0.3$ の領域の透視図を示す。即ち、vorticity は渦度場に分散し、より局所的に集中する傾向がみられる。 $|\omega|^2$ の透視図は、図9の worms の中に $|\omega|^2 \geq 0.09$ の部分を集中化して示す。この場合、 $\nu=1/500$, $\epsilon=0.0418$ 。worm の直径は Kolmogorov length η (~ 0.02)、長さは Taylor microscale λ (~ 0.2) の程度である。(この図の1辺は今一単位として示す。) かくして、Tennekes⁽¹⁰⁾ の渦管モデルは尤もらしい(ただし、 $R_\lambda \sim 100$ である)。

$$\eta^2/\lambda^2 \sim R_\lambda^{-1} \quad (4.1)$$

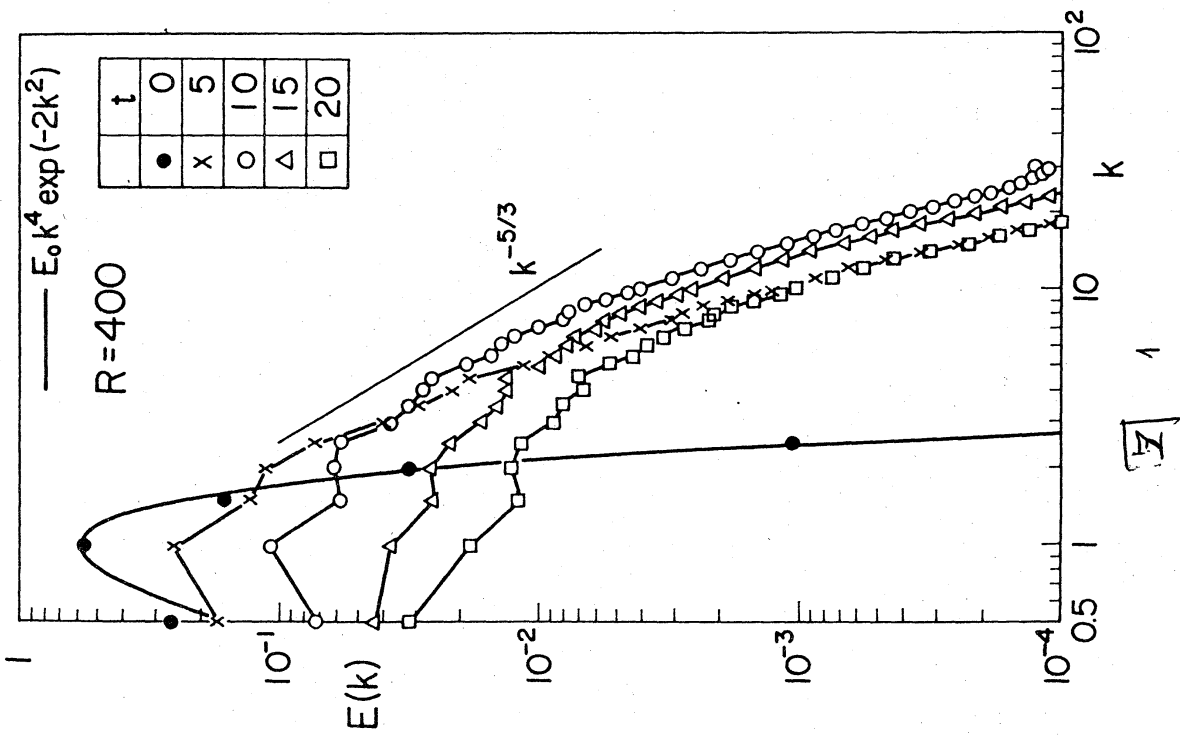
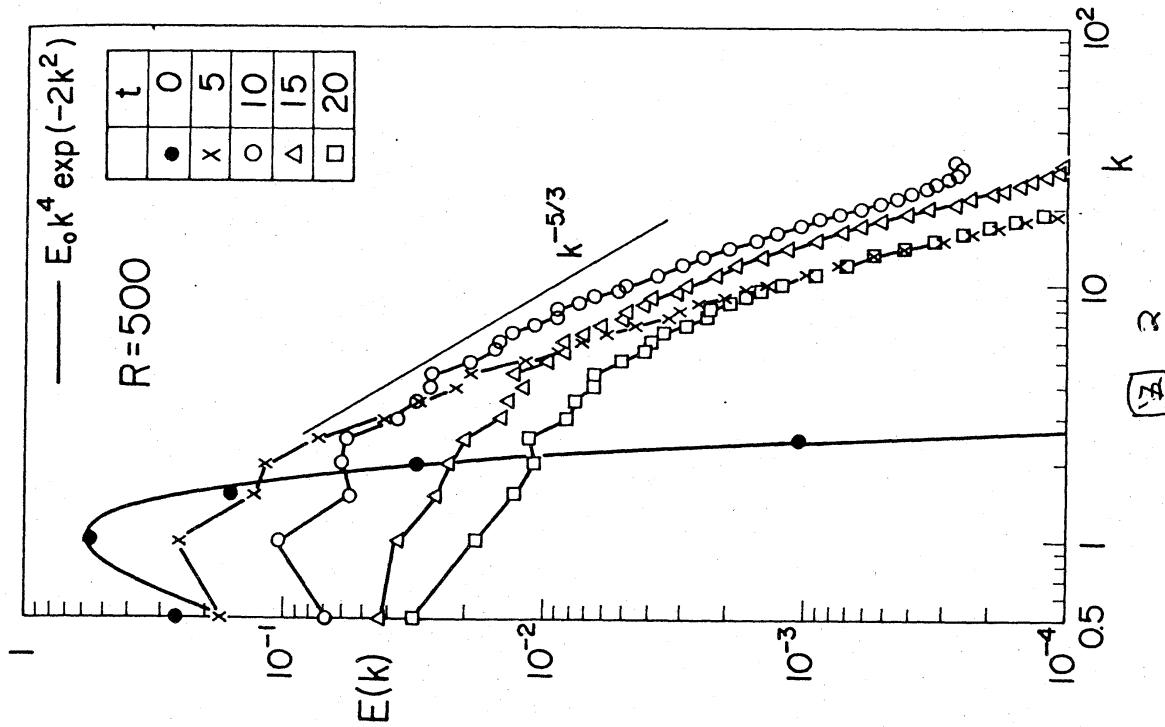
の関係はよく成立している。(この関係は skewness は R_{λ}^{-1} に依存している。これはおもしろい結果と合っている。)

しかしながら、vorticity-concentrated region 即ち dissipation region へ) 今までの観成概念は全面的に変更を要する。おもしろい立方体を 128^3 に分け、各 cell での (平均) vorticity を計算し、その分布を求めた。驚くべきことに $P(|\omega|, \text{space distribution の 確率密度}) = A \exp(-B|\omega|)$ が、かなり正確に成立しているらしい。(これは $|\omega|^2$ の分布が log-normal であることも示された。) これは ω の dissipation 分布も簡単に計算でき、warm regions の中の dissipation は 全 dissipation の 20% に達していることが分かった。つまり 80% は空白の領域で dissipate している。! これは、Kolmogorov-length よりも大きい eddies が大部分で dissipation 1 に寄与していることを示す。とすれば、従来の cascade model は正しい。これは重要な問題提起をしているのではない。

REFERENCES

- 1) S. A. Orszag and G. S. Patterson, Jr., Phys. Rev. Lett. 28 (1972) 76.
- 2) R. M. Kerr, J. Fluid Mech. 153 (1985) 31.
- 3) M. Brachet, D. I. Meiron, S. A. Orszag, B. G. Nickel, R. H. Morf and U. Frisch, J. Fluid Mech. 130 (1983) 411.
- 4) S. Kida and Y. Murakami, J. Phys. Soc. Jpn. 55 (1986) 9.

- 5) K. Yamamoto and I. Hosokawa, J. Phys. Soc. Jpn. 50 (1981) 343.
- 6) M. Lesieur and D. Schertzer, J. Mecanique 17 (1978) 609.
- 7) G. K. Batchelor and A. A. Townsend, Proc. Roy. Soc. A194 (1948) 527.
- 8) I. Hosokawa and K. Yamamoto, J. Phys. Soc. Jpn. 56 (1987) 521.
- 9) G. K. Batchelor, Homogeneous Turbulence (Cambridge, 1960),
- 10) H. Tennekes, Phys. Fluids 11 (1968) 669.
- 11) K. Yamamoto and I. Hosokawa, J. Phys. Soc. Jpn. 57 (1988),
to appear.



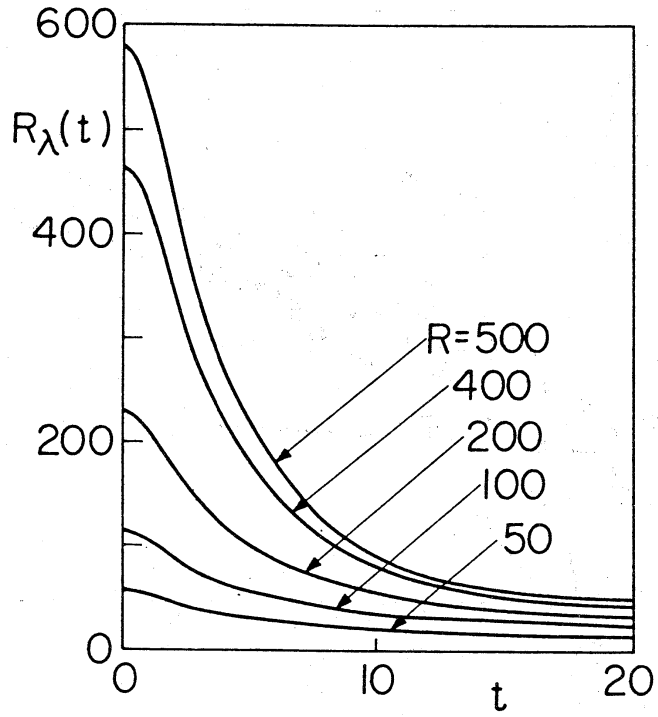


图 3

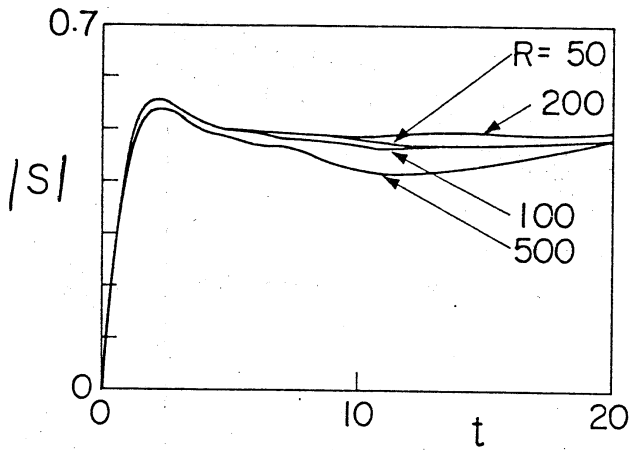


图 4

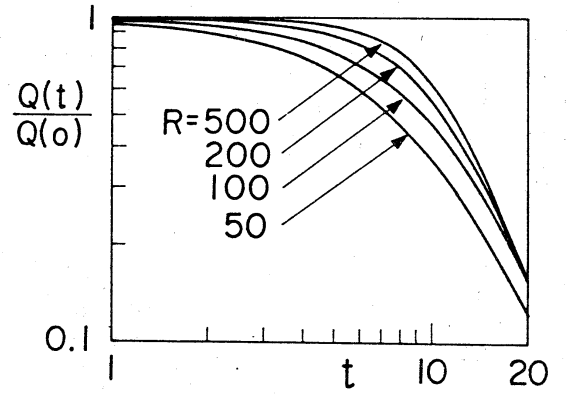


图 5
エネルギー減衰

The results of Monte Carlo Approach (with k randomly sampled)

IVAO HOSOKAWA and Kiyoshi YAMAMOTO

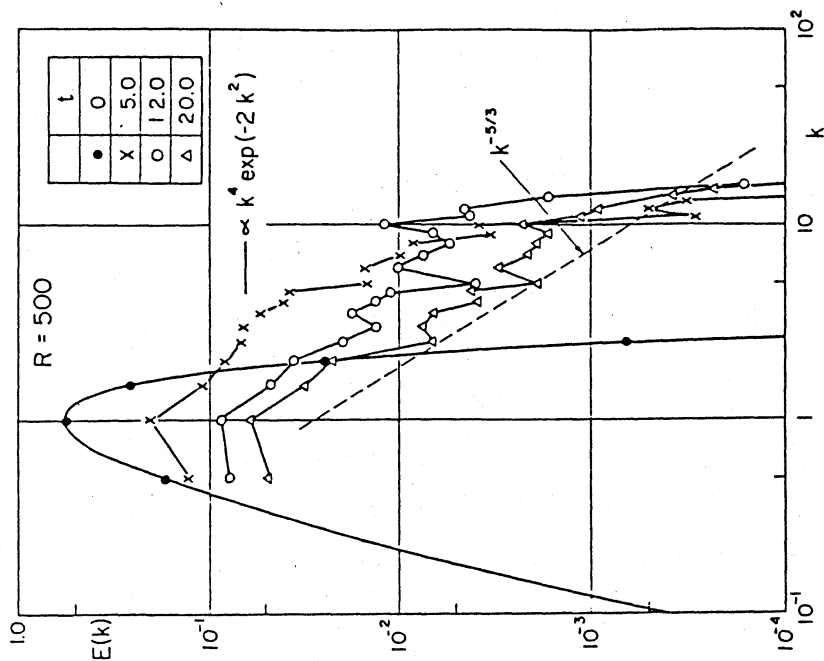


図 6

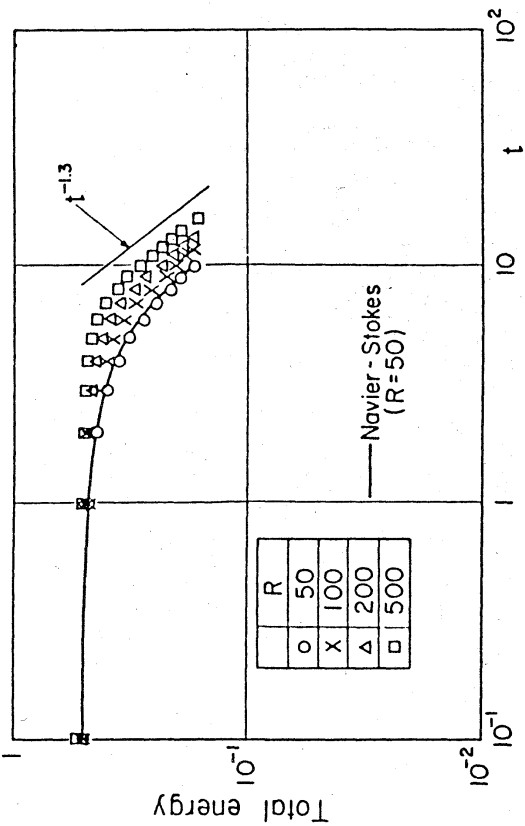


Fig. 2. Energy decay of turbulence by the sample dynamics.

図 7

Fig. 5. Band-averaged energy spectrum for $R=500$ at various times.



图 9

z

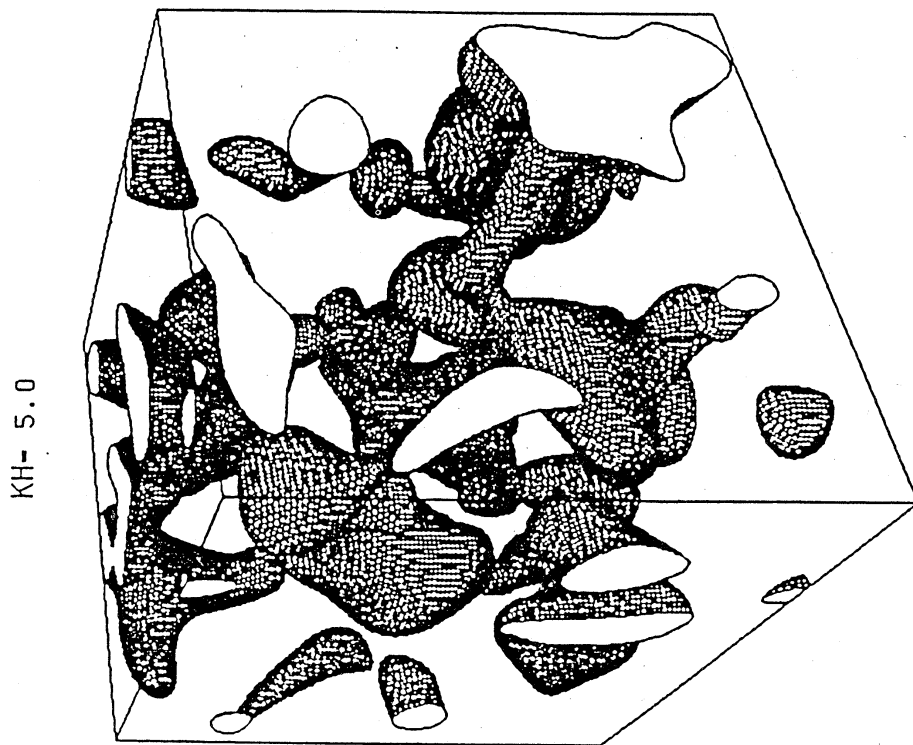


图 8